

## (12) PC鋼材と鉄筋を併用したPRC鉄道橋

谷内田 昌熙\* 石橋 忠良\*

小須田 紀元\* 金森 真〇

### 目次

- 1 はじめに
- 2 PRC析の設計法
  - (1) 概要
  - (2) 終局限界状態
  - (3) 疲労限界状態
  - (4) ひびわれの検討
  - (5) プレストレス中
- 3 PRC析設計例
  - (1) 設計条件
  - (2) 断面形状及び断面力
  - (3) 曲げ耐力
  - (4) 材料の疲労
  - (5) ひびわれ(曲げ及びせん断)
- 4 PRC析の実験測定
- 5 PRC析の経済性
- 6 おわりに

### 1 はじめに

従来のコンクリート析は鉄筋コンクリート(RC), あるいはひびわれを許さないプレストレスコンクリート(PC)が用いられてきた。最近このRCとPCの中間的な構造であるPRC構造の研究が進められ、その経済的なメリットが明らかになってきた。国鉄でも昭和53年から本格的に研究課題として取り上げてきた。その結果ひびわれの設計方法等、若干の研究項目はあるが、安全性については問題ないと判断し徐々に実験に適用していくこととした。昭和57年度に最初の実験を設計・施工し引続き表-1に示す橋梁についてPRC析とする予定である。

表-1 PRC析一覧表

線名	構造	析長	高連数	記事
桜井線	単線2室T析	17m	1.1m	1 施工者(ボカラB)
東北新幹線	複線2室箱析	25m	2.2m	8 施工中(田端地区)
" "		25m	2.35m	3 設計済(田端地区)
" "		30m	2.6m	2 施工中(戸田地区)
通勤別線	複線2室箱析	30m	2.6m	2 施工中(戸田地区)

### 2 PRC析の設計法

#### (1) 概要

現在行っている設計法の検討項目を示す。

(a) 終局限界状態……曲げ耐力、せん断耐力

(b) 疲労限界状態……材料の疲労

(c) 使用限界状態……ひびわれ、たわみ

(d) プレストレス中……応力上限値

#### (2) 終局限界状態

終局限界状態の荷重の組合せは次式による。

$$1.7 \times (\text{死荷重} + \text{列車荷重} + \text{衝撃})$$

曲げ及びせん断に対する設計方法は従来のPC析と同じであるので省略する。

#### (3) 疲労限界状態

材料の疲労を検討する場合には実荷重を用いる。PC鋼材、鉄筋Kについて応力変動の繰返しによる疲労の検討を行う。この場合複線析でも単線載荷とし衝撃係数も3/4とし平均に近い値とする。応力変動は全死荷重作用時と列車荷重作用時の差として求める。コンクリートに引張応力が生じる場合はその部分のコンクリートを無視して応力を計算を行う。次に橋軸方向の繰返し回数について説明する。鐵道構造物では一列車の通過によりさまざま応力波形が鋼材K生じる。これを独立波の繰

\* 国鉄 構造物設計事務所

返し換算するのにレジンベア法を用いている。文献(1)

この方法により一列車の応力波形をいくつかの独立した応力波形の回数に換算する。この各々の回数を、実荷重による最大応力波形の回数(等価線返し回数N<sub>eq</sub>と称する)Kマイナーモード鋼材のS-N線図を用いて換算する。マイナーモードKによると(実荷重独立波形)(実回数)(破断繰り返し回数)

S <sub>1</sub>	n <sub>1</sub>	N <sub>1</sub>
S <sub>2</sub>	n <sub>2</sub>	N <sub>2</sub>
⋮	⋮	⋮
S <sub>n</sub>	n <sub>n</sub>	N <sub>n</sub>

とすると  $\sum_{i=1}^n \frac{n_i}{N_i} = 1$  で破断する。

ここで、実荷重の繰り返し回数がある一定の荷重の繰り返し回数へ換算する。この卜式を使って S-N 線図上で完全片振り時の疲労を考慮した許容応力度σ<sub>rao</sub>を求め、さらに静荷重時の応力を合せてグットマン線図より次式により疲労を考慮した鋼材の許容応力度σ<sub>ra</sub>を求める。

$$\sigma_{ra} = \sigma_{min} + (1 - \sigma_{min}/\sigma_B) \times \sigma_{rao}$$

ただし、σ<sub>min</sub>:最小引張応力度

σ<sub>B</sub>:鋼材の引張強度

コンクリートの疲労強度は設計基準強度の1/2程度であるので設計荷重時の許容値を設計基準強度の1/3程度としている限り特に検討する必要はないともわれる。

次にアレストレスが導入されている断面で、引張側コンクリートにひびわれが生じている場合の鉄筋、PC鋼材の増加応力度の求め方について述べる。記号は図-1を参考して水平力及びモーメントのつり合いから次の二式が成り立つ。

$$C - T_p - T_s - P_0 = 0$$

$$M - C \cdot Z_c - T_p \cdot Z_p - T_s \cdot Z_s - P_0 \cdot Z_p = 0$$

途中の計算は省略するが最終的に次式により中立軸Xを求め各材料の増加応力度を求めることがで

きる。

$$\frac{M}{P_0} = \frac{I_{cx} + I_{ax}}{Q_{cx} - Q_{ax}} + (dp - X)$$

ただし、

Q<sub>cx</sub>, I<sub>cx</sub>: 中立軸に関する圧縮側コンクリートの面積モーメント、二乗モーメント

Q<sub>ax</sub>, I<sub>ax</sub>: 中立軸に関する鉄筋及びPC鋼材の換算面積モーメント、二乗モーメント

dp: 圧縮縁からPC鋼材重心までの距離

P<sub>0</sub>: PC鋼材位置のコンクリート応力が0となる時のPC鋼材緊張力で次式による。

$$\sigma_{p0} = \sigma_{pd} + n_p \cdot \sigma_{cdp}$$

ただし、

σ<sub>pd</sub>: 全死荷重時鋼材応力度

σ<sub>cdp</sub>: 全死荷重作用時のPC鋼材位置のコンクリート応力で圧縮を+とし引張りを-とする。

n<sub>p</sub>: PC鋼材とコンクリートのヤング係数比

#### (4) ひびわれの検討

PRC析は従来のPC析に比べてコンクリートに大きな引張応力が生じるため、環境条件に応じたひびわれ中の制限が必要である。ひびわれ中の算定式についていくつかの提案がされているが、実験での調査の主目的がこのひびわれの検討方法の確認であるので設計上の参考にとどめている。ここで、いくつかの提案式を紹介する。

##### (a) 曲げひびわれ

文獻(3)

(i) CP-110

コンクリートの全断面を有効とし弾性理論により仮想引張応力度を算出し、この値からひびわれ中を推定するもので表-乙が示されている。

(ii) CEB-FIP (1978年)

$$W_{max} = 1.7 \left\{ 2 \left( C + \frac{\sigma}{f_{ck}} \right) + k_1 \cdot k_2 \frac{\sigma}{f_{cr}} \right\} \frac{\sigma_s}{E_s} \left\{ 1 - \beta_1 \cdot \beta_2 \left( \frac{\sigma_s}{\sigma_s^*} \right)^2 \right\}$$

ただし、

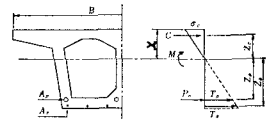


図-1 設計荷重時応力状態

表-2 II種PC部材に対する仮想引張応力の制限値(CP-110)

	許容ひびわれ幅 (mm)	コンクリートの等級に対する制限値(N/mm²)		
		30	40	50以上
(a) プレテンション	0.10	—	4.1	4.8
	0.20	—	5.0	5.8
(b) ボンド有りの ガストテンション	0.10	3.2	4.1	4.8
	0.20	3.8	5.0	5.8
(c) 断面引張筋に近い位 置に筋材を分散配置 したプレテンション	0.10	—	5.3	6.3
	0.20	—	6.3	7.3

上表の制限値の部材高さに応じた修正係数(CP-110)

部材高さ(mm)	200以下	400	600	800	1000以上
修正係数	1.10	1.0	0.90	0.80	0.70

 $C$ : かぶせ $S$ : 鋼筋間隔 $\phi$ : 鋼筋直径 $k_1$ : 異径鉄筋 0.4 $k_2$ : 図-2による $\rho_r$ :  $A_s / A_{cef}$  $A_s$ : 断面積  $A_{cef}$  内に配置されている鉄筋断面積 $A_{cef}$ : 鉄筋かひひわれ制御上有効に作用するコンクリート区分断面積 $\sigma_s$ : 鉄筋の引張応力 $\sigma_{sf}$ : 全断面有効として引張縁コンクリートの応力度が平均コンクリート引張応力度となる曲げによるひびわれ断面として求めた鉄筋引張応力 $\beta_1$ :  $1 / (2.5 k_1)$  $\beta_2$ : 荷重の離脱しが多數の場合  $\beta_2 = 0.5$ 

(b) せん断ひびわれ

(i) CP-110 式範囲(3)CP-110では、せん断力  $\delta$  が次の  $Scw$  よりも大きければ良いとしている。

$$Scw = 0.67 b h \sqrt{\sigma_t^2 + 0.8 \sigma_t \cdot \sigma_{cp}}$$

ただし、

 $b$ : 断面の巾 $h$ : 断面の高さ $\sigma_t$ :  $0.24 \sqrt{f_{cu}}$  $f_{cu}$ : コンクリートの立方体圧縮強度( $N/mm^2$ ) $\sigma_{cp}$ : 断面重心における軸方向プレストレス(-'')

## (ii) 斜引張応力度による方法

特にウェーブせん断ひびわれが生じやすいので、ウェーブに生じる斜引張応力度を次式で求める。

$$\sigma_x = -\frac{\sigma_x + \sigma_y}{2} + \sqrt{\frac{(\sigma_x - \sigma_y)^2 + 4 \tau^2}{4}}$$

ただし、

 $\sigma_x, \sigma_y$ : 軸方向及び鉛直方向プレストレス応力度 $\tau$ : 曲げせん断応力度

設計荷重作用時にウェーブせん断ひびわれを発生させないためには、図-2がコンクリートの引張強度以下であれば良い。

FIP(1982年)によると(コンクリートの引張り強度)/(材料安全係数)の値として図-3を提案している。文献(6)

## (5) プレストレッシング中

プレストレッシング中及び直後の各材料の許容値については、従来のPC桁の設計と同じである。

## 3 PRC桁設計例

東北新幹線田端地区K施工中のPRC桁の設計の一例を紹介する。

### (i) 設計条件

スパン  $\approx 8.6m$  (桁長  $\approx 5m$ )

列車荷重 新幹線 N-18, P-19

衝撃係数  $i = 0.214$ 

コンクリート

設計基準強度  $\sigma_{ck} = 300 \text{ kgf/cm}^2$ クリアーフィット  $\varphi = 2.6$ 乾燥収縮度  $\varepsilon = 20 \times 10^{-5}$ 

PC筋材 I2T12.7(SWPR7B)

引張強度  $\sigma_{pu} = 190 \text{ kgf/mm}^2$ 降伏点強度  $\sigma_{py} = 160 \text{ kgf/mm}^2$ 純しラクセーション率  $\beta_0 = 3\%$ 

鉄筋 SD-3.5

降伏点応力度  $\sigma_{sy} = 3500 \text{ kgf/cm}^2$ 引張強度  $\sigma_{su} = 5000 \text{ kgf/cm}^2$

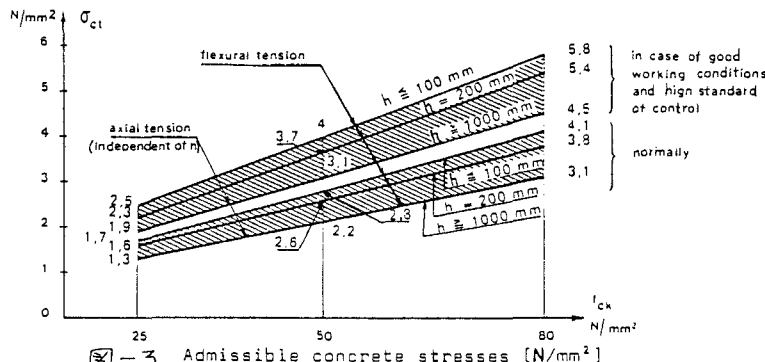


図-3 Admissible concrete stresses [N/mm<sup>2</sup>]

## (2) 断面形状及び断面力

図-4に断面図を示し計算結果のPC鋼材配置及び鉄筋配置を示す。表-3に断面力を示す。

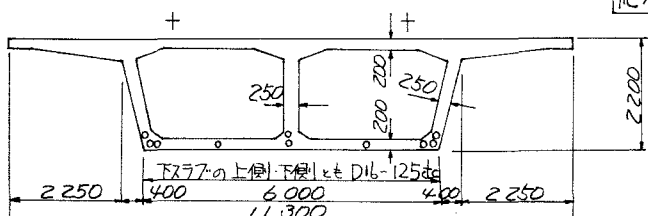


図-4 断面形状

表-3 断面力

	せん断力(t)	曲げモーメント(tm)
自重	179.9	1,069.0
版上荷重	194.8	1,196.5
列車荷重	196.3	929.0
合計	571.0	3,194.5

## (3) 曲げ応力度

PRC桁ではかなりの鉄筋が配置されているので鉄筋はコンクリートに換算して有効断面として

表-4 コンクリートの曲げ応力度(kgf/cm<sup>2</sup>)

位置	封隔自重 +プレストレス	直後 版荷重	版荷重 +鉄筋圧縮 +プレストレス	有効 死荷重 +プレストレス	合成
上縁	22.6	-8.7	25.0	0.5	-8.2
PC 鋼材国心	-32.6	62.2	-34.9	-3.4	58.8
鉄筋国心	-33.4	63.3	-35.9	-3.5	59.9
下縁	-36.1	66.8	-38.8	-3.6	63.1
					-15.4

(注)引張応力をマイナスとする。

いる。断面にひびわれが生じるまでは従来の計算方法と変わらない。結果を表-4に示す。PC鋼材、鉄筋の応力度についてひびわれを考慮して応力度を求めた。結果を表-5に示す。

表-5 PC鋼材・鉄筋応力度(kgf/cm<sup>2</sup>)

	PC鋼材応力度	鉄筋引張応力度
全死荷重作用時	96,900	243
設計荷重作用時	112,300	1,806
応力変動幅	15,400	1,563

導入プレストレスは、コンクリートのクリープ、乾燥収縮及び鋼材のレラクセーションにより減少する。レラクセーションはPRC桁の場合、初期導入力が小さいので通常の場合より小さくなる。

今回の設計例では見掛けのレラクセーション率 $\epsilon = 0.028$ であった。クリープ及び乾燥収縮によるPC鋼材応力減少量と、鉄筋に生じる圧縮力は $\gamma - \gamma'$ 、乾燥収縮によるコンクリートのひずみが鋼材にそのまま生じるとして求めめる。この場合クリープひずみは初期導入力と最終プレストレス力の平均によって生じるものとする。途中計算を省略して結果のみを記す。

$$\text{PC鋼材応力減少量 } -2.48 \text{ kgf/mm}^2$$

$$\text{鉄筋圧縮応力 } +61 \text{ kgf/cm}^2$$

今回の有効緊張応力度 $\sigma_{pe}$ は初期導入力を95 kgf/mm<sup>2</sup>として

$$\sigma_{pe} = 95 - (95 \times 0.028) - 2.48 = 89.86 \text{ kgf/mm}^2$$

なので有効係数は0.946となる。ここで求まった鉄筋の圧縮力により桁には曲げが働くと考えられる。このためのコンクリート応力を表-4に、

「鉄筋圧縮として示す。」

#### (4) 施料の疲労

PC鋼材及び鉄筋には列車荷重による繰返し応力が生じるので疲労の検討を行う。ここでは橋軸方向について記すが横方向についても同様な検討が必要である。ここで使用する鉄筋、PC鋼より線のS-N線図を図-5、図-6に示す。

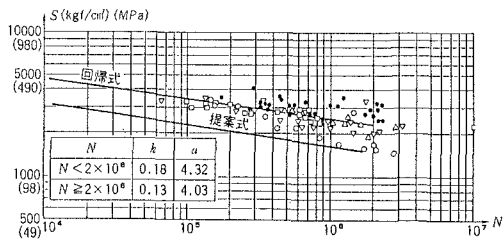


図-5 鉄筋SD-35のS-N線図

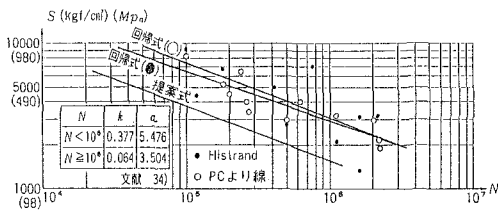


図-6 PC鋼より線のS-N線図

#### (条件)

設計耐用年数：100年、疲労設計列車荷重：「あおば」12両編成上下各130本（250%乗車39本、100%乗車91本の割合とする）鉄筋：SD-35、PC鋼材：12T12.7

計算はS-N線図を利用して行うが発生応力と断面力と列車荷重の関係により、各列車荷重をKS相当値Kに換算して計算する。

$N_{-18}$  KS相当値 14.81  
あおば（250%乗車） 10.52  
あおば（100%乗車） 9.52

等価繰返し回数  $N_{eq}$  1回

荷重負担比：0.57：2線以上を支持する構造物において、列車が全線に載荷された場合の検討断面の断面力に対する検討部材側のみに載荷された場

合の検討断面の断面力の比

#### (a) 鉄筋

便宜的に最も回数の多い「あおば（100%乗車）」に全通過列車を換算する。（以下図-7参照）

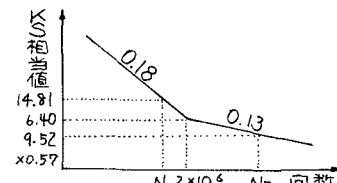


図-7

$$N_T = 7,111,000 \text{ 回}$$

$$\text{ここで } 2 \times 10^6 \text{ 回に相当する KS 相当値に換算すると, } M_{200} = 9.52 \times 0.57 \times \left\{ 7,111,000 / 2 \times 10^6 \right\}^{0.13} = 6.40$$

この  $M_{200}$  の点を基準にして KS 相当値 14.81 に相当する回数を求めると

$$N = 2 \times 10^6 \times (6.40 / 14.81)^{1/0.18} = 18,912 \text{ 回}$$

この値より SD-35 の完全片振り時の疲労を考慮した許容値  $\sigma_{rao}$  は次式で求められる。

$$\sigma_{rao} = 10^{4.32} / 18912^{0.18} = 3550 \text{ kgf/cm}^2$$

$$\sigma_{min} = 243 \text{ kgf/cm}^2 \text{ なので}$$

$$\sigma_{ra} = 243 + (1 - 243 / 5000) \times 3550 = 3620$$

$$\text{kgf/cm}^2$$

$\sigma_{ra}$  を  $2000 \text{ kgf/cm}^2$  に制限しているので問題ない。

#### (b) PC鋼材

PC鋼材も S-N 線図の傾きが異なりだけで同様に求め？

$$\sigma_{rao} = 3872 \text{ kgf/cm}^2$$

$$\sigma_{ra} = 9460 + (1 - 9460 / 19000) \times 3872 = 11400 \text{ kgf/cm}^2$$

設計荷重作用時に  $0.6 \sigma_{pu} = 11400 \text{ kgf/cm}^2$  に制限しているので問題ない。

(5) ひびわれ

(6) 曲げひびわれ

(7) CP-110による検討

仮想引張応力度を実荷重について求めよ。実荷重は「あおば」とし100%乗車で、衝撃係数は通常の値の3/4とし平均に近い値とする。

$$\text{複線載荷仮想引張応力度} - 34.7 \text{ kgf/cm}^2$$

表-2 Kによると、ひびわれ幅は0.2mmをこえるとおもわれる。

(8) CEB-FIPによる検討

実荷重時の応力変動は  $\delta_s = 1250 \text{ kgf/cm}^2$

$$W = 1.7 \left\{ 2 \times \left( 38 + \frac{125}{10} \right) + 0.4 \times 0.236 \times \frac{16}{0.01515} \right\} \times \frac{1250}{21 \times 10^5} \\ \times \left\{ 1 - 1 \times 0.5 \cdot \left( \frac{943}{1250} \right)^2 \right\} = 0.15 \text{ mm}$$

(9) セン断ひびわれ

(10) CP-110による検討

$$Scw = 0.67 \times 750 \times 2200 \sqrt{31^2 + 0.8 \times 1.3} \times 1.3 \\ = 1.94 \times 10^6 \text{ N} \approx 194 \text{ t}$$

実荷重の複線載荷によるせん断力  $S = 178 \text{ t}$  なのでせん断ひびわれは生じない。

(11) 斜引張応力度による検討

実荷重による斜引張応力度  $\Delta = 17.6 \text{ kgf/cm}^2$  であり、FIP(1982年)によるとコンクリートの許容引張応力度は次の値を与えている。(図-3)

普通のコンクリート  $15 \text{ kgf/cm}^2$

良いコンクリート  $22 \text{ kgf/cm}^2$

従って、比較的良いコンクリートであればせん断ひびわれは発生しない。

#### 4 PRC橋の実橋測定 文献(5)

鉄道橋として最初のPRC橋である梅井線ボケラB(奈良県)において各種測定を実施中であるとの一部を紹介する。橋はスパン16.2mで列車荷重はKS-16である。断面図を図-8, P

C鋼材、鉄筋配置を図-9に示す。コンクリート

の施工は昭和

57年12月で現

在まだ使用開

始していない

。プレストレス

導入直後と

高らんを施工

して現在の応

力状態の計算

値を表-6に

示す。また、

表-7に桁の

たわみの実測

値と計算値を示す。計算値は実測値より大きく。

これは桁が上向きにそり上るのを下側鉄筋がつづって(圧縮域として働く)いためと考えられる。

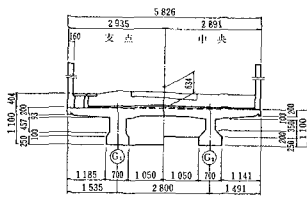


図-8 断面図

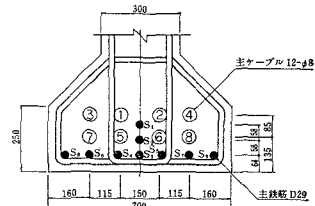


図-9 中央断面主鋼材配置

表-6 コンクリート応力(kgf/cm<sup>2</sup>)

位置	プレストレス導入直後	現在
上縁	- 0.3	11.9
PC金剛柱中心	93.7	64.4
鉄筋中心	103.4	69.8
下縁	111.9	74.6

表-7 たわみ量(mm)

	実測値	計算値
プレストレス	- 10.0	10.3
高欄	2.0	2.1
クリーフ	- 2.5	- 6.0*

(注)\*クリーフ係数を1.2とした。

次に鉄筋応力であるが現在のところには圧縮力が全面に働いている。桁の下側鉄筋の応力測定によると主梁中央下側(下縁から6.4cm上)の鉄筋の応力測定結果を図-10に示し、計算上の応力変化を、列車荷重が乗らないものとすると図-11のようになる。

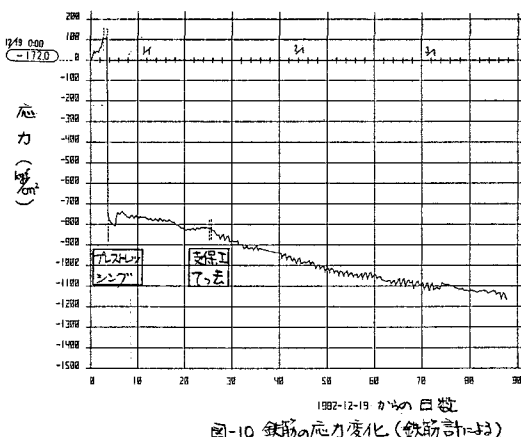


図-10 鉄筋の応力変化(鉄筋計による)

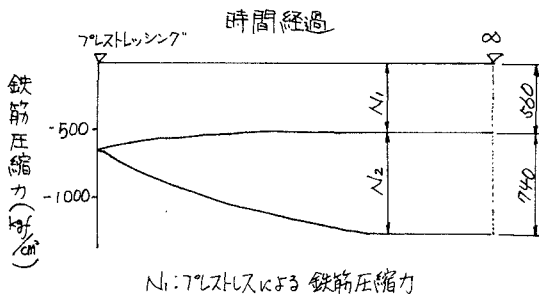


図-11 鉄筋圧縮力の計算値

## 5 PRC桁の経済性

今回の設計と、フルプレストレスの場合の数量比較を表-8に示す。その他の数量はほぼ同じである。実際の工事費にすると8%（桁-連当たり約200万円）の減となる。また、PRC桁のプレストレス力は従来のPC桁に比べて小さいためクリーフ変形量（ヒリ）が少くなり軌道を直結しているスラブ-軌道等では保守管理上もよましい。ただしスパンが短い場合には材料の疲労により使用強度が定まる場合があり、この場合にはPRC桁としない方が有利な事がある。

表-8 数量比較 ( $L=25m$ 当り)

析別	PC鋼柾	下スラブ 橋軸方向鉄筋
PRC	12T12.7 10本	166 cm <sup>2</sup>
フルプレストレス	12T12.7 17本	46 cm <sup>2</sup>
差	7本	120 cm <sup>2</sup>

## 6 おわりに

PRC桁は実施段階の初期にあたため実橋での各種測定を実施し設計方法の確認をしていく予定である。特にひびわれ性状について妥当な設計方法を確認することを主な着目点としている。今回設計の桁には許容できないようなひびわれが生じた場合に、将来的にもケーブルを追加できるよう配慮している。

最後に設計方法等について各文献に発表された研究者の皆様に厚く御礼申し上げます。

### (参考文献)

- (1)猪股俊司：Ⅲ種プレストレストコンクリート，コンクリートジャーナル第12巻9号(1974年) : Ⅲ種プレストレストコンクリート部材設計法，プレストレストコンクリート第17巻3号(1975年) : プレストレストコンクリート技術の現況，プレストレストコンクリート技術協会(1982年)
- (2)横道英雄：コンクリート橋，技報堂
- (3)岡田清，藤井学，小林和夫：プレストレストコンクリート構造学，国民科学社
- (4)F.Lオノハルト(横道英雄監訳)：プレストレストコンクリート，鹿島出版会
- (5)小須田紀元：Ⅲ種PC鉄道橋実施設計例，プレストレストコンクリート第25巻1号(1983年)
- (6)FIP RECOMMENDATIONS on PRACTICAL DESIGN of reinforced and prestressed concrete structures based on the CEB/FIP MODEL CODE (MC78)

## Prestressed Reinforced Concrete Railway Bridges

M.YACHIDA \*                    T.ISHIBASHI \*

N.KOSUDA \*                    M.KANAMORI \*

### INTRODUCTION

The prestressed reinforced concrete (PRC) girder is situated in the design between the reinforced concrete (RC) girder and the prestressed concrete (PC) girder. They are to be designed with a common procedure. In designing the PRC girder, care must be taken of the fatigue of materials and the concrete cracks. Japanese National Railways (JNR) has already constructed one PRC girder and is planning to construct 15 girders in the near future.

### METHOD OF DESIGN FOR PRC GIRDERS

The bending moment and the shearing force at the ultimate limit state are calculated under the following loads;

1.7 ( Dead load + Live load + Impact )

The fatigue of materials and the concrete cracks is checked under the following loads;

1.0 ( Dead load + Live load + Impact )

Estimating that design life of a railway structure at 100 years, the admissible tensile stress of the wire for prestressing the concrete must be limited to less than  $0.6 \delta_{pu}$ .

where,  $\delta_{pu}$  : ultimate tensile strength of the wire for PC.

The widths of concrete cracks calculated according to various proposed formulas are different from each other. So we are planning to observe the width of cracks of an actual bridge.

### MEASUREMENT OF ACTUAL BRIDGE

Now we are measuring the stress and the deflection of bridge completed in December, 1982, but not in use yet.

From the result of measurement, it was found that the deflection was less than the calculated one, and as for the compressive stresses of the reinforcing bars arranged at the bottom of the girders, the measured values were larger than the calculated ones. From these values, it can be assumed that the reinforcing bars arranged at the bottom of the girders resist an upward warping of the girders which is caused by the creep and shrinkage of concrete due to the prestressing force.

### ECONOMIC EFFECT

According to the result of trial design of a PRC girder bridges of 25 meters in length and 2.2 meters in height, it was found to be cheaper than a full pre-stressed PC girder bridge by 8 percent.

---

\* Structure Design Office , Japanese National Railways